

บทความวิจัย

การแยกแบคทีเรียกรดแลคติกและเพจของแบคทีเรียกรดแลคติก จากผลิตภัณฑ์อาหารป้าหมากในประเทศไทย

พรร摊พิพา จันทร์ทั่ง¹ อรอนงค์ พร็องศุลกะ^{1*} ณัฏฐิกา สุวรรณารชรัย¹
พรทิพย์ สุขสวัสดิ์² และ อัจฉริยา รังษิรุจิ¹

บทคัดย่อ

จากการแยกแบคทีเรียกรดแลคติกและแบบเพจจากตัวอย่างผลิตภัณฑ์อาหารป้าหมากในประเทศไทยทั้งหมด 51 ตัวอย่าง สามารถแยกแบคทีเรียกรดแลคติกได้ทั้งหมด 60 ไอโซเลท เมื่อนำแบคทีเรียกรดแลคติกทั้งหมดมาแยกแแบบเพจพบว่า สามารถแยกแแบบเพจได้ 4 ตัว คือ ΦF-42, ΦF-50, ΦF-57 และ ΦF-59 ซึ่งโอดีท์ของเพจเหล่านี้ คือ แบคทีเรีย F42, F50, F57 และ F59 เมื่อทำการจัดจำแนกแบคทีเรียกรดแลคติกที่ใช้เป็นโอดีท์ของเพจดังกล่าว โดยการเปรียบเทียบลำดับเบสบริเวณ 16S rDNA ของโอดีท์กับฐานข้อมูล GenBank พบว่าโอดีท์ F42 มีความคล้ายคลึงกับ *Leuconostoc lactis* (GenBank accession number GU125559) ร้อยละ 100 โอดีท์ F50 มีความคล้ายคลึงกับ *Leuconostoc mesenteroides* subsp. *mesenteroides* (GenBank accession number GU138559) ร้อยละ 99 โอดีท์ F57 และ F59 มีความคล้ายคลึงกับ *Weissella cibaria* (GenBank accession number AB494716) ร้อยละ 100 สำหรับลักษณะทั่วไปของเพจทั้ง 4 ตัว พบว่าสามารถทำลายแบคทีเรีย ก่อให้เกิดวงไส (พลาค) จึงจัดเป็นไวรูเรนท์เพจ และเมื่อศึกษารูปร่างกายใจกล้องจุลทรรศน์อิเล็กตรอนแบบส่องผ่าน พบว่าสามารถแยกออกได้เป็น 2 แฟมิลี โดยเพจ ΦF-42 และเพจ ΦF-50 มีส่วนหัวเป็นรูปหกเหลี่ยมขนาดเส้นผ่านศูนย์กลาง 82 และ 64 นาโนเมตร ตามลำดับ และส่วนหางยาวไม่สามารถถือได้ ขนาดความยาว 182 และ 327 นาโนเมตร ตามลำดับ ดังนั้นจึงจัดจำแนกเพจนี้อยู่ในแฟมิลี Siphoviridae ส่วนเพจ ΦF-57 และ ΦF-59 มีส่วนหัวเป็นรูปหกเหลี่ยมขนาดเส้นผ่านศูนย์กลาง 94 × 44 และ 96 × 43 นาโนเมตร

¹ภาควิชาชีววิทยา คณะวิทยาศาสตร์ มหาวิทยาลัยศรีนครินทรวิโรฒ

²โรงเรียนสาธิตมหาวิทยาลัยศรีนครินทรวิโรฒ ประสานมิตร (ฝ่ายประดิษฐ์)

* ผู้นิพนธ์ประสานงาน, e-mail: onanong@swu.ac.th

ตามลำดับ และล่วงทางสั้นไม่สามารถยึดหดได้ ขนาดความยาว 31 และ 23 นาโนเมตร ตามลำดับ จึงจัดอยู่ในแฟมิลี Podoviridae เมื่อนำมาศึกษาโดยอีสท์-เรนจ์ พบว่า แอบเพจเหล่านี้ไม่สามารถทำให้เกิดการติดเชื้อกับแบคทีเรียกรดแคลคติกสายพันธุ์อินและจีนสอีนที่นำมาทดสอบได้ ยกเว้นเพจ ΦF-59 ที่สามารถทำให้เกิดการติดเชื้อกับ *Weissella cibaria* N22 ที่นำมาทดสอบได้ และเมื่อสกัดดีเอ็นเอของเพจแล้วนำมาตัดด้วยเอนไซม์ตัดจำเพาะ พบร่องรอยที่ตัดขาด พบว่าเพจทั้ง 4 ตัวมีรูปแบบของดีเอ็นเอหลังจากตัดด้วยเอนไซม์ต่างกัน จึงยืนยันได้ว่าเป็นแอบเพจต่างชนิดกัน นอกจากนี้ยังพบว่าไดวาราบท์แคทไออ่อน 2 ชนิด (CaCl_2 และ MgCl_2) ไม่มีผลต่อการเข้าเกาะติดไฮสท์ของแอบเพจ งานวิจัยนี้บ่งชี้ว่าแอบเพจหลายชนิดสามารถลูก隅กได้จากผลิตภัณฑ์อาหารปลาหมก ซึ่งการวิเคราะห์ทางลัษณฐานวิทยาและชีวโมเลกุลสามารถแสดงให้เห็นถึงลักษณะจำเพาะของแอบเพจนั้นๆ ได้

คำสำคัญ: แอบเพจ แบคทีเรียกรดแคลคติก ผลิตภัณฑ์อาหารปลาหมก การแยก การศึกษาลักษณะ

Isolation and Characterization of Lactic Acid Bacteria Phages from Fermented Fish Products in Thailand

Pantipa Jantang¹, Onanong Pringsulaka^{1*}, Nuttika Suwannasai¹,
Phornthip Suksawat² and Achariya Rangsiruji¹

ABSTRACT

Lactic acid bacteria (LAB) and their phages were isolated from Thai fermented fish products. From 51 of Thai fermented fish products, 60 isolates of LAB were obtained and employed as hosts for isolation of phages. There were four different phages, named as Φ F-42, Φ F-50, Φ F-57 and Φ F-59, which were isolated using four distinctive bacterial hosts, so-called F42, F50, F57 and F59. These LAB were identified by 16S rDNA sequence analysis, and BLAST searches against the GenBank database revealed that F42 possessed 100% similarity to *Leuconostoc lactis* (GenBank accession number GU125559), F50 possessed 99% similarity to *Leuconostoc mesenteroides* subsp. *mesenteroides* (GenBank accession number GU138559), and F57 and F59 were found to be *Weissella cibaria* (GenBank accession number AB494716) with 100% similarities. All phages of these LAB produced clear plaques, thus indicating their virulent characteristics. Electron micrographs revealed that these four phages belonged to two morphological families. Phages Φ F-42 and Φ F-50 were found to have hexagonal heads (82 nm and 64 nm in diameter, respectively) and long noncontractile tails (182 nm and 327 nm in length, respectively), indicating that they belonged to Siphoviridae family. Moreover, phages Φ F-57 and Φ F-59 were shown to have hexagonal heads (94 \times 44 nm and 96 \times 43 nm in diameter, respectively) and short noncontractile tails (31 nm and 23 nm in length, respectively),

¹Department of Biology, Faculty of Science, Srinakharinwirot University

²Srinakharinwirot University: Prasarnmit Demonstration School (Elementary)

*Corresponding author, email: onanong@swu.ac.th

suggesting that they belonged to Podoviridae family. The host-range determination revealed that these phages were incapable of cross-infection, with the exception of $\Phi F\text{-}59$ which was able to infect the tested *Weissella cibaria* N22. In addition, the DNA isolated from these four phages were characterized using restriction enzyme analysis which showed that the restriction fragments of $\Phi F\text{-}42$, $\Phi F\text{-}50$, $\Phi F\text{-}57$ and $\Phi F\text{-}59$ phages were different. Furthermore, the presence of divalent cations (CaCl_2 and MgCl_2) was not found to affect phage adsorption. This study showed that a variety of LAB phages could be isolated from fermented fish products and morphological and molecular characterizations suggested their distinctive properties.

Keywords: LAB phage, lactic acid-producing bacteria, fermented fish products, isolation, characterization

บทนำ

ปัจจุบันอาหารหมักของไทย เช่น แหنน ไส้กรอกเปรี้ยว และ ปลา真空ได้รับความนิยมจากผู้บริโภคอย่างแพร่หลาย ทำให้เกิดการผลิตสูตรดับกิงอุตสาหกรรมและระดับอุตสาหกรรมมากขึ้น โดยพบว่าอาหารหมักเหล่านี้มักใช้แบคทีเรียกรดแลคติก (Lactic acid bacteria; LAB) ที่มีอยู่ตามธรรมชาติในการหมัก การพัฒนากระบวนการผลิตอาหารหมักสามารถอาศัยเทคโนโลยีชีวภาพได้ อาทิ การใช้หัวเชื้อแบคทีเรียกรดแลคติกชนิดสุส�ธิ อย่างไรก็ตามพบว่าผลิตภัณฑ์ที่ได้จากการหมักอาจจะมีกลิ่นหรือรสที่เปลี่ยนไปจากเดิม ซึ่งส่งผลให้ผู้ผลิตมักจะยังคงนิยมใช้แบคทีเรียกรดแลคติกที่มีอยู่ในธรรมชาติ หรือแบคทีเรียกรดแลคติกที่มีอยู่ในวัตถุนิยมเป็นหัวเชื้อในกระบวนการหมักมากกว่าที่จะใช้หัวเชื้อแบคทีเรียบริสุทธิ์ จึงพบปัญหาทั้งในด้านระยะเวลาที่ใช้ในการหมักค่อนข้างนาน ผลิตภัณฑ์ที่ได้มีคุณภาพไม่คงที่ และพบการปนเปื้อนของจุลินทรีย์ที่ไม่ต้องการในผลิตภัณฑ์ เช่น *Salmonella spp.*, *Staphylococcus aureus*, *Listeria monocytogenes* เป็นต้น [1]

นอกจากปัญหาสำคัญเกี่ยวกับการหมักโดยใช้แบคทีเรียกรดแลคติกดังกล่าวข้างต้น ในงานวิจัยที่มีการตีพิมพ์ในต่างประเทศพบว่าการติดเชื้อแบคทีโรฟেจ (bacteriophage) หรือเฟจ (phage) ซึ่งเป็นไวรัสที่มีแบคทีเรียเป็นโฮสต์นั้น เป็นปัญหาสำคัญอย่างยิ่งในการผลิตอาหารหมักในแต่ละประเทศ โดยเฟจของแบคทีเรียกรดแลคติก หรือแอบนเฟจ สามารถพบได้ในสิ่งแวดล้อมที่มีแบคทีเรียที่เป็นโฮสต์อาศัยอยู่ การติดเชื้อของเฟจในแบคทีเรียกรดแลคติกนั้นก่อให้เกิดผลเสียในอุตสาหกรรมอาหารหมักอย่างมาก เช่น ในอุตสาหกรรมผลิตภัณฑ์นมหมัก โดยพบว่าเฟจจะปนเปื้อนมาจากร่มดิบที่ยังไม่ผ่านการทำเชื้อ [2] และพบว่าการพาสเจอร์ไรซ์ (pasteurization) นั้นไม่เพียงพอในการยับยั้งอนุภาคไวรัส [3, 4] นอกจากนี้การใช้หัวเชื้อ (starter cultures) เดิมตลอดจะเป็นโฮสต์ที่ดีในการเพิ่มจำนวนของเฟจ [5, 6] ซึ่งเมื่อหัวเชื้อมีการติดเชื้อด้วยเฟจจะทำให้การสร้างกรดแลคติกเกิดช้า และอาจทำให้การหมักล้มเหลว [7] โดยเฉพาะอย่างยิ่งอาจทำให้หัวเชื้อสูญเสียคุณภาพและไม่สามารถเพิ่มน้ำมูลค่าของผลิตภัณฑ์ได้อีกต่อไป [L1]

จากการสำรวจนี้จึงเน้นการศึกษาและเพจที่แยกจากอาหารปลามักของประเทศไทยทำการคัดแยกแบคทีเรียกรดแลคติกที่เป็นโฮสต์จากอาหารปลามักที่มีหลากหลายต่างๆ จากนั้นทำการแยกแอบนเฟจจากอาหารชนิดเดียวกัน โดยคาดว่าข้อมูลที่ได้จะทำให้ทราบถึงการปนเปื้อนของแอบนเฟจในอาหารปลามักของประเทศไทย และสามารถต่อยอดในการพัฒนาวิธีการเก็บรักษาหัวเชื้อ รวมทั้งการควบคุมการผลิตให้ปราศจากการปนเปื้อนจากแอบนเฟจ

วิธีการทดลอง

การคัดแยกและจัดจำแนกเชื้อแบคทีเรียกรดแลคติก

ผลิตภัณฑ์อาหารปลามักจากภาคกลาง ภาคเหนือ และภาคตะวันออกเฉียงเหนือทั้งหมด 51 ตัวอย่าง ถูกนำมาใช้แยกแบคทีเรียกรดแลคติก โดยใช้ loop ตะบะริเวณต่างๆ ของผลิตภัณฑ์อาหารปลามัก นำมา streak ลงบนอาหาร MRS agar (Oxoid Ltd., Basingstoke, United Kingdom) ที่ผสม CaCO_3 ร้อยละ 0.5 นำไปบ่มที่อุณหภูมิ 30 องศาเซลเซียส ใน candle jar เป็นเวลา 24 ชั่วโมง จากนั้นทำการคัดเลือกแบคทีเรียกรดแลคติกเบื้องต้นโดยดูจากลักษณะทางสัณฐานวิทยา รูปร่าง การไม่สร้างเอ็นไซม์

คงตัวเลส และจัดจำแนกในระดับเจ้าสัวโดยอาศัยคุณสมบัติทางเชื้อรา ได้แก่ ความสามารถในการเจริญที่ อุณหภูมิ 10, 30 และ 45 องศาเซลเซียส ความสามารถในการเจริญที่สภาวะค่าความเป็นกรดด่าง 4.4, 6.5 และ 9.6 ความสามารถในการเจริญที่สภาวะที่มี NaCl เข้มข้นร้อยละ 6.5 และ 18 และการสร้างก้าน คาร์บอนไดออกไซด์จากการหมักน้ำตาลกลูโคส [8] จากนั้นทำการจัดจำแนกในระดับสปีชีส์โดยศึกษาลำดับ เบสในบริเวณ 16S rDNA โดยการสกัดดีเอ็นเอของแบคทีเรียกรดแผลติก ตามวิธีการของ Lu และคณะ [9] แล้วนำ DNA ที่สกัดได้มามีเป็น template ในการทำ Polymerase Chain Reaction (PCR) เพื่อเพิ่ม จำนวนชิ้นดีเอ็นเอบริเวณ 16S rDNA ของแบคทีเรีย โดยใช้ primers ที่มีลำดับเบสดังนี้ [10]

Forward primer (8-27f) : 5' AGAGTTTGATC(A/C)TGGCTCAG 3'

Reverse primer (1525r) : 5' TACGG(C/T)TACCTTGTACGACTT 3'

จากนั้นทำการผสมสารต่างๆ ที่ใช้ในการทำ PCR แล้วนำไปเข้าเครื่อง Authorized Thermal Cycler (Eppendorf, USA) โดยกำหนดอุณหภูมิและเวลาสำหรับเพิ่มจำนวนชิ้นดีเอ็นเอบริเวณ 16S rDNA ตามวิธีการของ Björkroth และคณะ [11] นำชิ้นดีเอ็นเอที่ได้จากการทำ PCR นี้มาวิเคราะห์ขนาด ด้วยวิธีอเล็กโทรโฟเรซ นำ PCR product ที่มีขนาดประมาณ 1,500 คู่เบสมาทำให้บริสุทธิ์ โดยใช้ FAVORGEN® GEL/PCR PURIFICATION kit (Flavogen Biotech Corp, Taiwan) แล้วนำชิ้น ดีเอ็นเอที่ได้ไปหาลำดับเบสบริเวณ 16S rDNA นำลำดับเบสที่ได้มามาเปรียบเทียบความเหมือนกันกับลำดับ เบสของ 16S rDNA ในฐานข้อมูลของ GenBank โดยใช้โปรแกรม Blastn (<http://www.ncbi.nlm.nih.gov/BLAST>)

การแยกแยะเพจโดยใช้แบคทีเรียกรดแผลติกที่แยกได้จากแหล่งเดียวกันเป็นโภสท์

เตรียมเซลล์แขวนลอยของแบคทีเรียกรดแผลติกโดยให้มีค่า OD₆₀₀ เท่ากับ 0.6 (ประมาณ 1×10^8 CFU/ml) ดูดมา 1 มิลลิลิตร ใส่ลงในอาหาร MRS broth (Oxoid Ltd., Basingstoke, United Kingdom) ปริมาตร 50 มิลลิลิตร ที่บรรจุอยู่ในขวดทดลองรูปทรงพู่ขนาด 250 มิลลิลิตร ตั้งทึบไว้ที่อุณหภูมิ 30 องศาเซลเซียส ประมาณ 6-7 ชั่วโมง จากนั้นใส่ผลิตภัณฑ์อาหารปลาหมึกปริมาณ 25 กรัมลงไป บ่มต่อไปอีกเป็น เวลา 24 ชั่วโมง นำตัวอย่างไปตอกตะกอน โดยใช้เครื่องปั่นเหวี่ยงที่ความเร็ว 4,025 ×g เป็นเวลา 10 นาที ที่อุณหภูมิ 4 องศาเซลเซียส นำส่วนใสมากรองผ่านแผ่นกรองขนาด 0.45 ไมโครเมตร และนำวิเคราะห์ ขั้นต่อไปว่ามีแยะเพจอยู่หรือไม่ [12, 13]

การตรวจสอบแยะเพจโดยใช้เทคนิคการทำอาหารร้อนสองชั้น

นำส่วนใสที่ได้จากการกรองผ่านแผ่นกรองขนาด 0.45 ไมโครเมตร จากขั้นตอนข้างต้น ปริมาตร 20 ไมโครลิตร และแบคทีเรียกรดแผลติก ปริมาตร 20 ไมโครลิตร มาเติมลงในอาหาร MRS broth ที่มีร้อน ร้อยละ 0.5 ที่หลอมเหลวแล้ว บรรจุอยู่ในหลอดทดลอง ผสมให้เข้ากันแล้วเททับลงบนอาหารแข็ง MRS agar นำไปปั่นใน candle jar ที่อุณหภูมิ 30 องศาเซลเซียส เป็นเวลา 24 ชั่วโมง ตรวจสอบวงไสหรือพลาค (plaque) ที่เกิดขึ้น [14]

การหาปริมาณของแอบเพจ

การหาปริมาณของแอบเพจทำได้โดยเจือจางแอบเพจในตัวอย่างแบบ serial dilution ให้มีค่าลดลงระดับละลึ่นเท่า นำสารแขวนลอยของแอบเพจในแต่ละระดับความเจือจาง และแบนค์ที่เรียกรดแคลติกที่ใช้เป็นโโซส์มาหาปริมาณแอบเพจ โดยการทำอาหารวุ้นสองชั้น นับจำนวนพลาคที่เกิดขึ้นแล้วนำไปคำนวณกับอัตราการเจือจาง เพื่อหาค่าความสามารถในการเกิดพลาค (Plaque forming unit/ml; PFU/ml) ซึ่งคำนวณได้จากสูตร [15]

$$\text{ค่าความสามารถในการเกิดพลาค (PFU/ml)} = \frac{\text{จำนวนพลาค}}{\text{ปริมาณเพจที่ใช้} \times \text{ค่าความเจือจาง}}$$

การศึกษาปริมาณของแอบเพจภายใต้กล้องจุลทรรศน์อิเล็กตรอนแบบส่องผ่าน

เตรียมแอบเพจในอาหารเหلو โดยนำเชื้อแบคทีเรียกรดแคลติกเพาะเลี้ยงในอาหาร MRS broth บ่มที่อุณหภูมิ 30 องศาเซลเซียส เป็นเวลา 24 ชั่วโมง จากนั้นดูดมา 1 มิลลิลิตร ใส่ลงในอาหาร MRS broth ปริมาตร 50 มิลลิลิตร ที่บรรจุอยู่ในขวดทดลองรูปทรงพู่ขนาด 250 มิลลิลิตร บ่มที่อุณหภูมิ 30 องศาเซลเซียส เป็นเวลาประมาณ 6-7 ชั่วโมง ใส่แอบเพจที่แยกได้ลงไป 100 ไมโครลิตร บ่มต่อไปอีกเป็นเวลา 24 ชั่วโมง หลังจากนั้นนำไปตกละตอกก่อนเพื่อแยกเซลล์ที่ไม่ต้องการออกโดยปั่นเหวี่ยงที่ความเร็ว 4,025 $\times g$ เป็นเวลา 10 นาที แยกเอาส่วนน้ำใสซึ่งมีแอบเพจมาเติมเกลือให้มีความเข้มข้นสุดท้ายเป็น 1 โนมาร์ แห่น้ำแข็งเป็นเวลา 30 นาที และเติมพอลิเอธิลีนไอกลีโคล 8000 (Polyethylene glycol 8000) ร้อยละ 10 (น้ำหนักต่อปริมาตร) เก็บที่อุณหภูมิ 4 องศาเซลเซียส เป็นเวลา 24 ชั่วโมง แล้วนำไปปั่นเหวี่ยงที่ความเร็ว 21,952 $\times g$ เป็นเวลา 30 นาที ที่อุณหภูมิ 4 องศาเซลเซียส แยกส่วนน้ำใสทิ้ง และนำแอบเพจที่ตกตะกอนได้มาตรวจสอบทางสันฐานวิทยาด้วยกล้องจุลทรรศน์อิเล็กตรอนแบบส่องผ่าน (รุ่น JEM-1010 transmission electron microscope; JEOL, Japan) [15-17]

การศึกษาสมบัติของแอบเพจในการติดเชื้อกับแนวค์ที่เรียกรดแคลติกสปีชีส์อื่นและจีนสอื่น

นำเซลล์แขวนลอยของแบคทีเรียกรดแคลติกสายพันธุ์อื่นและจีนสอื่นที่จะทดสอบ ได้แก่ Weissella cibaria N22, Lactobacillus (Lb.) plantarum ATCC 8014, Lb. sakei JCM 1157, Lactococcus (Lc.) lactis JCM 7638, Lc. lactis subsp. cremoris TUA 1344L, Leuconostoc (Leu.) mesenteroides JCM 6124, Pediococcus (P.) pentosaceus JCM 5885, P. pentosaceus JCM 5890, Streptococcus salivarius JCM 57007 และแบคทีเรียกรดแคลติก 17 ไอโซเลท ที่แยกได้จากการทดลองข้างต้นและมีคุณสมบัติทางชีวเคมีที่แตกต่างกัน ความเข้มข้น 10^8 CFU/ml ปริมาตร 20 ไมโครลิตร มาเติมลงในอาหาร MRS broth ที่มีวุ้นร้อยละ 0.5 ที่หลอมเหลวแล้วผสมให้เข้ากันแล้วเททับลงบนอาหาร MRS agar ที่แข็งตัว จากนั้นหยดแอบเพจที่แยกได้ปริมาตร 10 ไมโครลิตร บ่มที่อุณหภูมิ 30 องศาเซลเซียส เป็นเวลา 24 ชั่วโมง ตรวจผลความสามารถของแอบเพจในการติดเชื้อกับแนวค์ที่เรียกรดแคลติกสปีชีส์อื่น หรือจีนสอื่นที่นำมาทดสอบ ด้วยการเกิดพลาคบริเวณที่หยดแอบเพจลงไป [12, 13]

การสกัดดีเอ็นเอของแผลไฟจ์

ทำการเพิ่มจำนวนแผลไฟจ์ประมาณ 100 plates หลังจากนั่งไว้เป็นเวลา 16-24 ชั่วโมง จะมีพลาคเกิดขึ้นแล้วให้เททับหน้าอาหารด้วย MRS broth ปริมาตร 5 มิลลิลิตร ตั้งทิ้งไว้ประมาณ 2-5 ชั่วโมง ที่อุณหภูมิห้อง หลังจากนั้นนำไปตกรตะกอนเพื่อแยกเซลล์ที่ไม่ต้องการออก โดยปั่นเหวี่ยงที่ความเร็ว $4,025 \times g$ เป็นเวลา 10 นาที ที่อุณหภูมิ 4 องศาเซลเซียส แยกเอาส่วนน้ำใส่ช่องมีแผลไฟจ์มาเติม DNase I 1 ไมโครกรัมต่อมิลลิลิตร และ RNase A 10 ไมโครกรัมต่อมิลลิลิตร ตั้งทิ้งไว้ที่อุณหภูมิห้องเป็นเวลา 30 นาที เติมเกลือให้มีความเข้มข้นสุดท้ายเป็น 1 โมลาร์ นำไปแช่น้ำแข็งเป็นเวลา 30 นาที เติมพอลีเอธิลีน-ไกโคลอล 8000 ร้อยละ 10 (น้ำหนักต่อปริมาตร) ละลายให้เข้ากัน เก็บที่อุณหภูมิ 4 องศาเซลเซียส เป็นเวลา 24 ชั่วโมง จากนั้นทำการตกรตะกอนแผลไฟจ์ โดยปั่นเหวี่ยงที่ความเร็ว $21,952 \times g$ เป็นเวลา 30 นาที ที่อุณหภูมิ 4 องศาเซลเซียส นำตะกอนแผลไฟจ์ที่ได้มาละลายใน TE buffer (pH 8.0) 500 ไมโครลิตร เติมคลอโรฟอร์ม 500 ไมโครลิตร เพื่อแยกพอลีเอธิลีนไกโคลอลออก ผสมให้เข้ากันนำไปปั่นเหวี่ยงที่ความเร็ว $4,025 \times g$ เป็นเวลา 5 นาที ที่อุณหภูมิ 4 องศาเซลเซียส แยกส่วนน้ำชั้นบนนำมาเติม sodium dodecyl sulfate ร้อยละ 10 (น้ำหนักต่อปริมาตร) ผสมให้เข้ากันแล้วบ่มที่อุณหภูมิ 68 องศาเซลเซียส เป็นเวลา 10 นาที จากนั้นเติมเกลือความเข้มข้น 5 โมลาร์ ปริมาตร 10 ไมโครลิตร ผสมให้เข้ากัน เติมฟีโนล 500 ไมโครลิตร นำไปปั่นเหวี่ยงที่ความเร็ว $4,025 \times g$ เป็นเวลา 5 นาที ที่อุณหภูมิ 4 องศาเซลเซียส แยกส่วนใส่ด้านบนมาเติมสารละลายฟีโนลต่อกลูโคโรฟอร์ม (อัตราส่วน 1 ต่อ 1) นำไปปั่นเหวี่ยงที่ความเร็ว $4,025 \times g$ เป็นเวลา 5 นาที ที่อุณหภูมิ 4 องศาเซลเซียส แล้วทำซ้ำอีกครั้งหนึ่ง จากนั้นแยกส่วนใส่ด้านบนมาเติมโซเดียมอะซิตेठ 3 โมลาร์ ในอัตราส่วนปริมาตร 1 ต่อ 10 และเอทานอลร้อยละ 95 (ที่แช่เย็น) 1 มิลลิลิตร แล้วนำไปแช่ในตู้ -70 องศาเซลเซียส เป็นเวลา 30 นาที นำมาปั่นเหวี่ยงความเร็ว $21,952 \times g$ เป็นเวลา 10 นาที ล้างดีเอ็นเอกครั้งด้วยเอทานอลร้อยละ 70 ปริมาตร 1 มิลลิลิตร ดูดเอทานอลทิ้ง จากนั้นนำไปประheyเอทานอลออกใน vacuum chamber ละลายดีเอ็นเอของแผลไฟจ์ด้วย TE buffer (pH 8.0) 30-50 ไมโครลิตร แล้วนำดีเอ็นเอที่สกัดได้มาวิเคราะห์ด้วยวิธีอเล็ก tro-forecisis [17]

การตัดดีเอ็นเอของแผลไฟจ์ด้วยเอนไซม์ตัดจำเพาะ

นำดีเอ็นเอที่สกัดได้มาตัดด้วยเอนไซม์ตัดจำเพาะชนิดต่างๆ (*Eco*RI, *Bgl*III, *Bam*HI, *Pst*I, *Hind*III, *Eco*RV, *Sac*I, *Mlu*I และ *Nde*I) โดยเติมบัฟเฟอร์ที่เหมาะสมกับเอนไซม์แต่ละชนิดตามที่บริษัทผู้ผลิตกำหนด ตรวจสอบแคนของดีเอ็นเอโดยวิธีอเล็ก tro-forecisis โดยการตรวจสอบด้วยวิธีนี้ต้องเปรียบเทียบกับดีเอ็นเอมาตรฐานของแผลไฟจ์ที่ตัดด้วยเอนไซม์ *Hind*III ทุกครั้ง

การศึกษาผลไคอาเลนท์แคลท์อ่อนที่มีผลต่อการเข้าภาวะติดโซส์ของแผลไฟจ์

นำเชื้อแบคทีเรียกรดแคลคติกที่มีปริมาณเซลล์เท่ากัน 1×10^8 CFU/ml มาทำการติดเชื้อด้วยแผลไฟจ์ในอาหาร MRS broth ที่มีแคลเซลเซียมคลอโร๊ด หรือแมgnีเซียมคลอโร๊ดความเข้มข้น 0, 10, 20 และ 30 มิลลิโมลาร์ บ่มที่อุณหภูมิ 30 องศาเซลเซียส จากนั้นเก็บตัวอย่างมา 0.5 มิลลิลิตร นำไปกรองผ่านแผ่นกรองขนาด 0.45 ไมโครเมตร และนำไปหาปริมาณไฟจ์โดยใช้เทคนิคการทำอาหารร้อนสองชั้น และใช้ไฟจ์ในอาหาร MRS broth ที่ไม่มีเซลล์แบคทีเรียกรดแคลคติกเป็นตัวควบคุม (ปริมาณไฟจ์เริ่มต้น) โดยคำนวณร้อยละของการเข้าภาวะติดโซส์ของไฟจ์จากสูตร [9]

$$\frac{\text{ร้อยละของการเข้าเกะติดของเพจ}}{\text{ปริมาณเพจเริ่มต้น}} = \frac{(\text{ปริมาณเพจเริ่มต้น} - \text{ปริมาณเพจที่เหลือ})}{\text{ปริมาณเพจเริ่มต้น}} \times 100$$

ผลการทดลอง

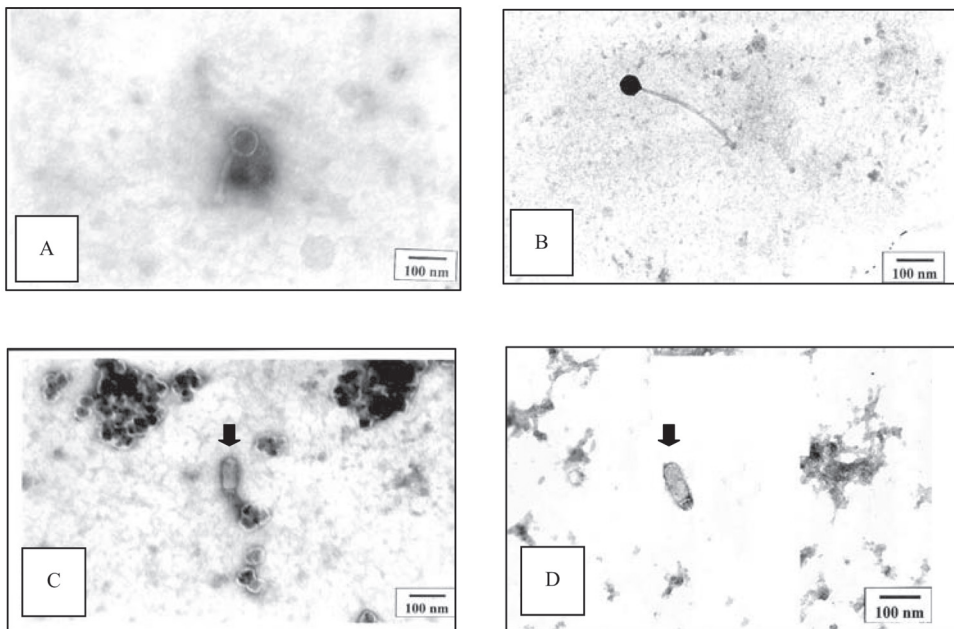
การคัดแยกและจัดจำแนกเชื้อแบคทีเรียกรดแอลกติก

จากการคัดแยกแบคทีเรียจากตัวอย่างผลิตภัณฑ์อาหารปลาหมัก จำนวน 51 ตัวอย่าง โดยคัดเลือกโคลนลีข่าวที่เป็นโคลนเดียว ขนาด 1-3 มิลลิเมตร ที่มีบริเวณใส่รอบโคลนน้ำอาหาร MRS agar ที่ผสม CaCO_3 ร้อยละ 0.5 นำไปย้อมสีแกรมเพื่อดูถูกง่ายรูปร่าง เก็บเชื้อที่ติดลีแกรมบวก ไม่สร้างสปอร์ ให้ผลลบในการทดสอบเอนไซม์คatabolite เมื่อนำมาจัดจำแนกจีนัสและสปีชีส์โดยอาศัยคุณสมบัติทางชีวเคมี ได้แก่ ความสามารถในการเจริญที่อุณหภูมิ 10, 30 และ 45 องศาเซลเซียส ความสามารถในการเจริญที่สภาวะค่าความเป็นกรดด่าง 4.4, 6.5 และ 9.6 ความสามารถในการเจริญที่สภาวะมี NaCl เข้มข้นร้อยละ 6.5 และ 18 และการสร้างกําชقرارบนไดออกไซด์จากการหมักน้ำตาลกลูโคส พบว่าสามารถแยกแบคทีเรียกรดแอลกติก ได้ทั้งหมด 60 ไอโซเลท โดยมีรูปร่างเป็นท่อน 38 ไอโซเลท และรูปปีก 22 ไอโซเลท

การแยกแอบเพจโดยใช้แบคทีเรียกรดแอลกติกที่แยกได้จากแหล่งเดียวกันเป็นไฮสท์

นำแบคทีเรียกรดแอลกติกทั้งหมด 60 ไอโซเลท มาทำการแยกแอบเพจ และนำมาตรวจสอบแอบเพจโดยใช้เทคนิคการทำอาหารวุ้นสองชั้น พบว่าสามารถแยกแอบเพจได้ 4 ตัว คือ ΦF-42, ΦF-50, ΦF-57 และ ΦF-59 ซึ่งไฮสท์ของเพจเหล่านี้ คือ F42, F50, F57 และ F59 ตามลำดับ เมื่อนำไฮสท์มาจัดจำแนกโดยอาศัยคุณสมบัติทางชีวเคมีและคีกามาลำดับเบสนบริเวณ 16S rDNA พบว่าไฮสท์ F42 มีความคล้ายคลึงกับ *Leuconostoc lactis* ร้อยละ 100 ไฮสท์ F50 มีความคล้ายคลึงกับ *Leuconostoc mesenteroides* subsp. *mesenteroides* ร้อยละ 99 ส่วนไฮสท์ F57 และ F59 มีความคล้ายคลึงกับ *Weissella cibaria* ร้อยละ 100

สำหรับลักษณะทั่วไปของแอบเพจทั้ง 4 ตัว พบว่ามีพากขนาดเล็กโดยมีเส้นผ่าศูนย์กลางเฉลี่ยอยู่ในช่วง 0.5-1.0 มิลลิเมตร และเมื่อคีกามารูปร่างภายในได้ก้อนจุลทรรศน์อิเล็กตรอนแบบส่องผ่านพบว่า แอบเพจทั้งหมดมีหัวเป็นรูปหกเหลี่ยม มีส่วนหางที่มีความยาวแตกต่างกัน ซึ่งสามารถแยกออกได้เป็น 2 กลุ่ม กลุ่มแรก คือ เพจ ΦF-42 และเพจ ΦF-50 ส่วนหัวมีขนาดเส้นผ่าศูนย์กลาง 82 และ 64 นาโนเมตร ตามลำดับ และส่วนหางยาวไม่สามารถยึดหดได้ ขนาดความยาว 182 และ 327 นาโนเมตร ตามลำดับ (รูปที่ 1A และ 1B) จากลักษณะดังกล่าวสามารถจัดจำแนกเพจนี้อยู่ในแฟมิลี Siphoviridae และกลุ่มที่สอง คือ เพจ ΦF-57 และ ΦF-59 ส่วนหัวมีขนาดเส้นผ่าศูนย์กลาง 94×44 และ 96×43 นาโนเมตร และส่วนหางสั้นไม่สามารถยึดหดได้ ขนาดความยาว 31 และ 23 นาโนเมตร ตามลำดับ (รูปที่ 1C และ 1D) จัดอยู่ในแฟมิลี Podoviridae



รูปที่ 1 รูปปั้งของแอบนเฟจภายใต้กล้องจุลทรรศน์อิเล็กตรอนแบบส่องผ่าน, (A) ΦF-42; (B) ΦF-50; (C) ΦF-57; (D) ΦF-59 (ลูกศรชี้แสดงตำแหน่งของเฟจ)

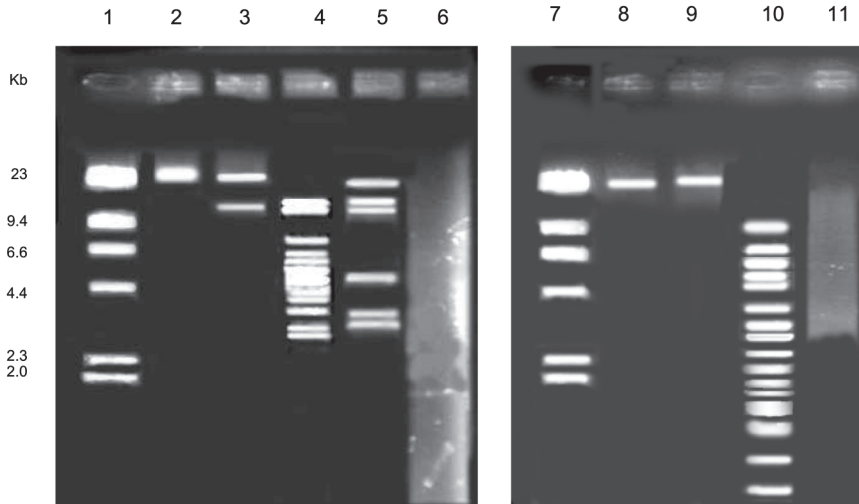
การศึกษาสมบัติของแอบนเฟจในการติดเชื้อกับแบคทีเรียกรดแลคติกสปีชีส์อื่นและจีนสอื่น

การศึกษาสมบัติของแอบนเฟจทั้ง 4 ตัว ในการติดเชื้อกับแบคทีเรียกรดแลคติกสายพันธุ์อื่นและจีนสอื่น ได้แก่ *W. cibaria* N22, *Lb. plantarum* ATCC 8014, *Lb. sakei* JCM 1157, *Lc. lactis* JCM 7638, *Lc. lactis* subsp. *cremoris* TUA 1344L, *Leu. mesenteroides* JCM 6124, *P. pentosaceus* JCM 5885, *P. pentosaceus* JCM 5890, *Streptococcus salivarius* JCM 57007 และแบคทีเรียกรดแลคติก 17 ไอโซเลท ที่แยกได้จากการทดลอง ซึ่งมีคุณสมบัติทางชีวเคมีที่แตกต่างกัน พบว่าแอบนเฟจ ทั้ง 3 ตัว คือ ΦF-42, ΦF-50 และ ΦF-57 ไม่สามารถทำให้เกิดการติดเชื้อกับแบคทีเรียกรดแลคติกสายพันธุ์อื่นและจีนสอื่นที่นำมาทดสอบได้ ยกเว้นเฟจ ΦF-59 ที่สามารถทำให้เกิดการติดเชื้อกับ *W. cibaria* N22 ที่นำมาทดสอบได้

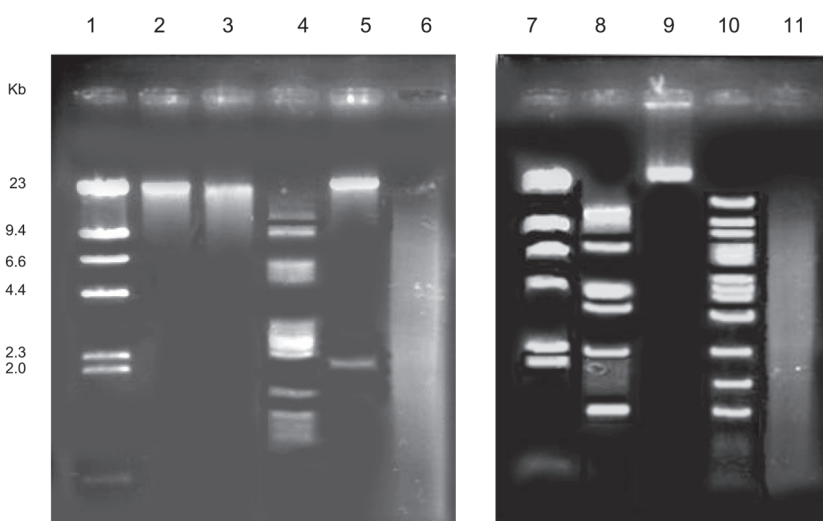
การตัดดีเอ็นเอของแอบนเฟจด้วยเอนไซม์ตัดจำเพาะ

เมื่อนำแอบนเฟจ 4 ตัว คือ ΦF-42, ΦF-50, ΦF-57 และ ΦF-59 มาทำการสกัดดีเอ็นเอแล้ว นำดีเอ็นเอที่ได้มาตัดด้วยเอนไซม์ตัดจำเพาะ 9 ชนิด คือ *EcoRI*, *BglII*, *BamHI*, *PstI*, *HindIII*, *EcoRV*, *SacI*, *MluI* และ *NdeI* เพื่อตรวจสอบยืนยันว่าเป็นแอบนเฟจชนิดเดียวกันหรือไม่ พบร่องรอยของเฟจ ΦF-42 ถูกตัดด้วยเอนไซม์ *BamHI*, *PstI*, *HindIII*, *EcoRV*, *SacI* และ *MluI* แต่ไม่ถูกตัดด้วย เอนไซม์ *EcoRI*, *NdeI* และ *BglII* (รูปที่ 2) ดีเอ็นเอของเฟจ ΦF-50 ถูกตัดด้วยเอนไซม์ *EcoRI*, *PstI*, *HindIII*, *EcoRV*, *SacI* และ *MluI* แต่ไม่ถูกตัดด้วยเอนไซม์ *BglII*, *BamHI* และ *NdeI* (รูปที่ 3) ดีเอ็นเอของเฟจ ΦF-57 ถูกตัดด้วยเอนไซม์ *EcoRI*, *BglII*, *BamHI*, *PstI*, *HindIII*, *EcoRV*, *SacI* และ

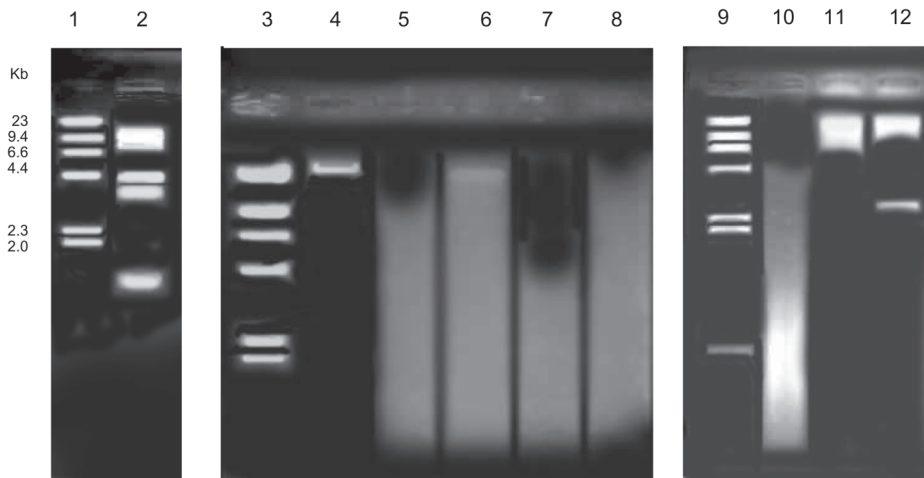
MluI แต่ไม่มีถูกตัดด้วยเอนไซม์ *NdeI* (รูปที่ 4) ส่วนดีเอ็นเอของเพจ Φ F-59 ถูกตัดด้วยเอนไซม์ *EcoRI*, *BglII*, *BamHI*, *PstI*, *HindIII*, *EcoRV*, *SacI* และ *MluI* แต่ไม่มีถูกตัดด้วยเอนไซม์ *NdeI* (รูปที่ 5)



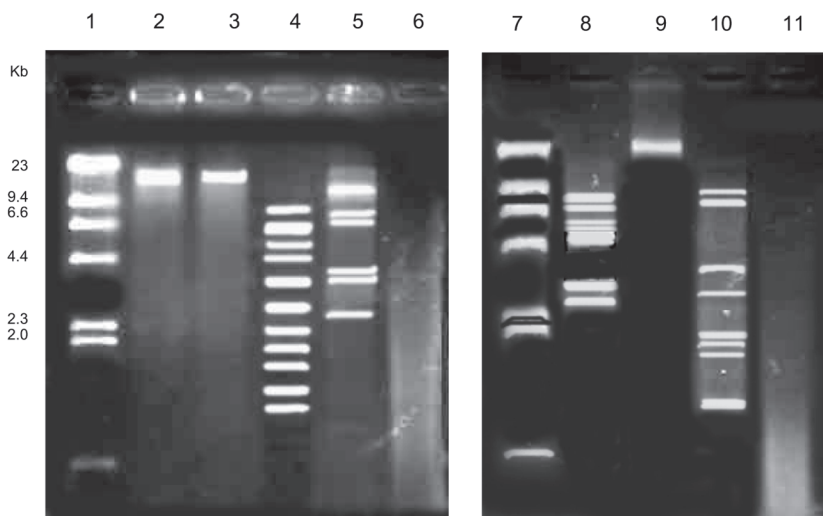
รูปที่ 2 ดีเอ็นเอของเพจ Φ F-42 หลังการตัดด้วยเอนไซม์ตัดจำเพาะ, Lambda DNA marker/*HindIII* (แคล 1, 7); *BglII* (แคล 2); *BamHI* (แคล 3); *EcoRV* (แคล 4); *MluI* (แคล 5); *SacI* (แคล 6); *EcoRI* (แคล 8); *NdeI* (แคล 9); *HindIII* (แคล 10) และ *PstI* (แคล 11)



รูปที่ 3 ดีเอ็นเอของเพจ Φ F-50 หลังการตัดด้วยเอนไซม์ตัดจำเพาะ, Lambda DNA marker/*HindIII* (แคล 1, 7); *BglII* (แคล 2); *BamHI* (แคล 3); *EcoRV* (แคล 4); *MluI* (แคล 5); *SacI* (แคล 6); *EcoRI* (แคล 8); *NdeI* (แคล 9); *HindIII* (แคล 10) และ *PstI* (แคล 11)



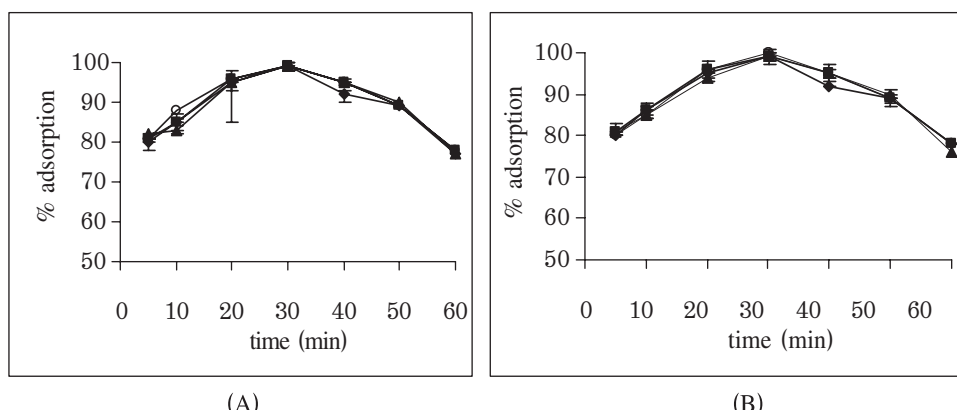
รูปที่ 4 ดีเอ็นเอของเฟจ Φ F-57 หลังการตัดด้วยเอนไซม์ตัดจำเพาะ, Lambda DNA marker/*Hind*III (แคล 1, 3, 9); *Mlu*I (แคล 2); *Nde*I (แคล 4); *Pst*I (แคล 5); *Bgl*III (แคล 6); *Bam*HI (แคล 7); *Eco*RV (แคล 8); *Sac*I (แคล 10); *Hind*III (แคล 11) และ *Eco*RI (แคล 12)



รูปที่ 5 ดีเอ็นเอของเฟจ Φ F-59 หลังการตัดด้วยเอนไซม์ตัดจำเพาะ, Lambda DNA marker/*Hind*III (แคล 1, 7); *Bgl*III (แคล 2); *Bam*HI (แคล 3); *Eco*RV (แคล 4); *Mlu*I (แคล 5); *Sac*I (แคล 6); *Eco*RI (แคล 8); *Nde*I (แคล 9); *Hind*III (แคล 10) และ *Pst*I (แคล 11)

การศึกษาผลของไดวาเลนท์แคทไอก้อนที่มีผลต่อการเข้าเกาะติดไฮสท์ของแลบเฟจ

จากการศึกษาผลของไดวาเลนท์แคทไอก้อนที่มีผลต่อการเข้าเกาะติดไฮสท์ของเฟจทั้ง 4 ตัว โดยการนำมาทำการติดเชื้อด้วยแลบเฟจในอาหาร MRS broth ที่มี CaCl_2 หรือ MgCl_2 ที่ความเข้มข้น 0, 10, 20 และ 30 มิลลิโมลาร์ พบร่วมกัน การเข้าเกาะติดไฮสท์ของเฟจในอาหาร MRS broth ที่มี CaCl_2 หรือ MgCl_2 ให้ผลไม่ต่างกัน โดยเฟจ $\Phi\text{F-42}$ สามารถเข้าเกาะติดที่ผิวเซลล์ของไฮสท์ได้ร้อยละ 81, 85, 95 และ 99 ในอาหาร MRS broth ที่มี CaCl_2 (รูปที่ 6A) และสามารถเข้าเกาะติดที่ผิวเซลล์ของไฮสท์ได้ร้อยละ 81, 85, 95 และ 99 ในอาหาร MRS broth ที่มี MgCl_2 (รูปที่ 6B) เฟจ $\Phi\text{F-50}$ สามารถเข้าเกาะติดที่ผิวเซลล์ของไฮสท์ได้ร้อยละ 95, 97, 98 และ 100 ในอาหาร MRS broth ที่มี CaCl_2 (รูปที่ 7A) และสามารถเข้าเกาะติดที่ผิวเซลล์ของไฮสท์ได้ร้อยละ 95, 97, 98 และ 100 ในอาหาร MRS broth ที่มี MgCl_2 (รูปที่ 7B) ในระยะเวลา 5, 10, 20 และ 30 นาที ตามลำดับ ส่วนเฟจ $\Phi\text{F-57}$ สามารถเข้าเกาะติดที่ผิวเซลล์ของไฮสท์ได้ร้อยละ 80, 93 และ 99 ในอาหาร MRS broth ที่มี CaCl_2 (รูปที่ 8A) และสามารถเข้าเกาะติดที่ผิวเซลล์ของไฮสท์ได้ร้อยละ 80, 93 และ 99 ในอาหาร MRS broth ที่มี MgCl_2 (รูปที่ 8B) เฟจ $\Phi\text{F-59}$ สามารถเข้าเกาะติดที่ผิวเซลล์ของไฮสท์ได้ร้อยละ 78, 91 และ 99 ในอาหาร MRS broth ที่มี CaCl_2 (รูปที่ 9A) และสามารถเข้าเกาะติดที่ผิวเซลล์ของไฮสท์ได้ร้อยละ 78, 91 และ 99 ในอาหาร MRS broth ที่มี MgCl_2 (รูปที่ 9B) ในระยะเวลา 5, 10 และ 20 นาที ตามลำดับ นอกจากนี้ยังพบว่าการเข้าติดไฮสท์ของแลบเฟจในอาหาร MRS broth ที่ไม่มีการเติม CaCl_2 หรือ MgCl_2 ให้ผลใกล้เคียงกัน

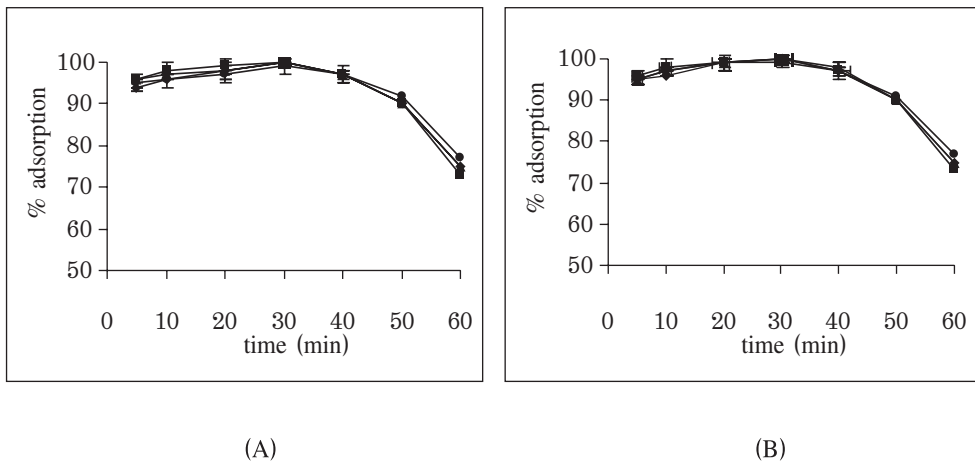


รูปที่ 6 การเข้าเกาะติดไฮสท์ของเฟจ $\Phi\text{F-42}$ ในอาหารที่มีไดวาเลนท์แคทไอก้อนเข้มข้น 0 มิลลิโมลาร์ (\blacklozenge)

10 มิลลิโมลาร์ (\blacktriangle), 20 มิลลิโมลาร์ (\circ) และ 30 มิลลิโมลาร์ (\blacksquare)

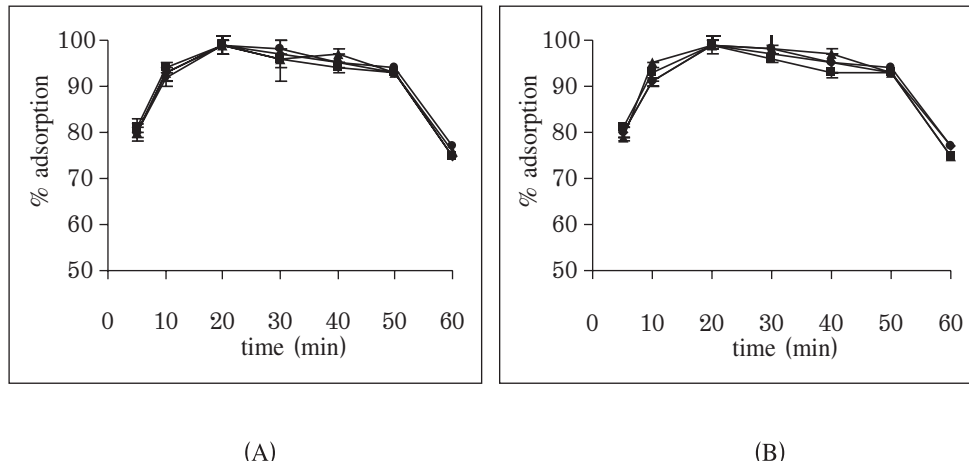
(A) อาหาร MRS broth ที่มี CaCl_2

(B) อาหาร MRS broth ที่มี MgCl_2



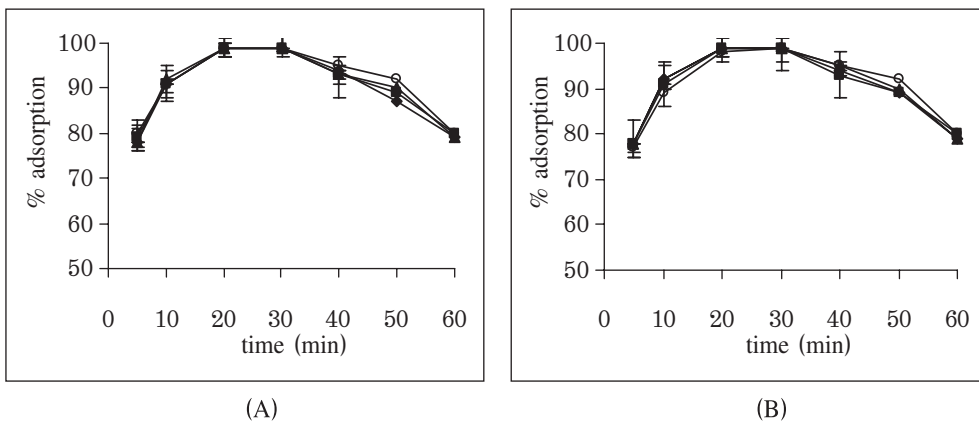
รูปที่ 7 การเข้าเกะติดไสส์ของเชื้อ $\Phi F-50$ ในอาหารที่มีไดวานเคนท์แแคทท์โอ่อนเข้มข้น 0 มิลลิโมลาร์ (♦)
10 มิลลิโมลาร์ (▲), 20 มิลลิโมลาร์ (○) และ 30 มิลลิโมลาร์ (■)

(A) อาหาร MRS broth ที่มี $CaCl_2$
(B) อาหาร MRS broth ที่มี $MgCl_2$



รูปที่ 8 การเข้าเกะติดไฮส์ทของเพล φF-57 ในอาหารที่มีไดวาราเลนท์แคทไอก้อนเข้มข้น 0 มิลลิโมลาร์ (♦)
10 มิลลิโมลาร์ (▲), 20 มิลลิโมลาร์ (○) และ 30 มิลลิโมลาร์ (■)

(A) อาหาร MRS broth ที่มี CaCl_2
(B) อาหาร MRS broth ที่มี MgCl_2



รูปที่ 9 การเข้าเกาะติดไฮสท์ของเพจ PhiF-59 ในอาหารที่มีได华เลนท์แคทไออ่อนเข้มข้น 0 มิลลิโตร (◆)
10 มิลลิโตร (▲), 20 มิลลิโตร (○) และ 30 มิลลิโตร (■)
(A) อาหาร MRS broth ที่มี CaCl_2
(B) อาหาร MRS broth ที่มี MgCl_2

สรุปและวิเคราะห์ผลการทดลอง

จากการคัดแยกแบคทีเรียกรดแลคติกจากตัวอย่างผลิตภัณฑ์ป้าหมาก จำนวนทั้งหมด 51 ตัวอย่าง พบว่าสามารถแยกแบคทีเรียกรดแลคติกได้ทั้งหมด 60 ไอโซเลท โดยมีรูปร่างเป็นท่อน 38 ไอโซเลท และรูปไข่ 22 ไอโซเลท จากนั้นนำแบคทีเรียกรดแลคติกที่แยกได้ทั้ง 60 ไอโซเลท มาใช้เป็นไฮสท์สำหรับแยก แลบเพจ พบร่วมกัน สามารถแยกแลบเพจได้ 4 ตัว คือ PhiF-42, PhiF-50, PhiF-57 และ PhiF-59 ซึ่งไฮสท์ของ เพจเหล่านี้ คือ F42, F50, F57 และ F59 ตามลำดับ เมื่อนำไฮสท์มาจัดจำแนกโดยอาศัยคุณสมบัติทาง ชีวเคมีและศีกษามาลำดับเบนบริเวณ 16S rDNA พบร่วมกับ *Leuconostoc lactis* ร้อยละ 100 ไฮสท์ F50 มีความคล้ายคลึงกับ *Leuconostoc mesenteroides* subsp. *mesenteroides* ร้อยละ 99 เช่นเดียวกับการทดลองก่อนหน้านี้พบร่วมกับ *Leuconostoc* sp. ได้จากแหล่งต่างๆ เช่น ปลา真空 [18] เป็นต้น ส่วนไฮสท์ F57 และ F59 มีความคล้ายคลึงกับ *Weissella cibaria* ร้อยละ 100

เมื่อนำแลบเพจทั้ง 4 ตัว มาศึกษาลักษณะของพลาค พบร่วมแลบเพจทั้ง 4 ตัว มีลักษณะของ พลาคใส และมีขนาดเล็กผ่านศูนย์กลางเฉลี่ยอยู่ในช่วง 0.5-1.0 มิลลิเมตร แสดงว่าเพจทั้ง 4 ตัวเป็น ไวรูเรนท์เพจ และเมื่อศึกษารูปร่างของเพจภายใต้กล้องจุลทรรศน์อิเล็กตรอนแบบส่องผ่าน พบร่วมแลบเพจ ทั้งหมดมีหัวเป็นรูปหกเหลี่ยม มีล่วนทางที่มีความยาวแตกต่างกัน ซึ่งสามารถแยกออกได้เป็น 2 กลุ่ม กลุ่มแรก คือ เพจ PhiF-42 และเพจ PhiF-50 ส่วนหัวมีขนาดเล็กผ่านศูนย์กลาง 82 และ 64 นาโนเมตร ตามลำดับ และล่วนทางยาวไม่สามารถยึดให้ได้ ขนาดความยาว 182 และ 327 นาโนเมตร ตามลำดับ จากลักษณะดังกล่าวสามารถจัดจำแนกเพจนี้อยู่ในแฟมิลี Siphoviridae อย่างไรก็ได้ เพจ PhiF-42 และ เพจ PhiF-50 ที่พบร่วมกันวิจัยนี้มีรูปร่างแตกต่างจากแลบเพจในกลุ่มแฟมิลี Siphoviridae ที่แยกได้จาก แบคทีเรียกรดแลคติกอื่นๆ เช่น เพจ ggg [19] ที่มีหัวขนาด 50 นาโนเมตร และทางยาว 125 นาโนเมตร

ส่วนกลุ่มที่สอง คือ เพจ ΦF-57 และ ΦF-59 ส่วนหัวมีขนาดเล็กกว่าหนูน้ำ 94 × 44 และ 96 × 43 นาโนเมตร และส่วนหางสั้นไม่สามารถยึดให้แนบความยาว 31 และ 23 นาโนเมตร ตามลำดับ ดังนั้นจึงจัดอยู่ในแฟมิลี Podoviridae แต่เพจ ΦF-57 และ ΦF-59 นี้มีรูปร่างแตกต่างจากแอบเพจในกลุ่มแฟมิลี Podoviridae ที่แยกได้จากแบคทีเรียกรดแคลคติกอื่นๆ เช่น เพจ P369 [20] ที่มีหัวขนาด 57 × 40 นาโนเมตร และหางยาว 19 นาโนเมตร และแอบเพจส่วนใหญ่ที่เคยมีรายงานจะพบอยู่ในแฟมิลี Siphoviridae แต่ที่พบจัดอยู่ในแฟมิลี Podoviridae มีน้อยกว่าร้อยละ 1 และส่วนใหญ่จะเป็น lactococcal phages [21] เมื่อนำแอบเพจทั้ง 4 ตัว มาศึกษาสมบัติของแอบเพจในการติดเชื้อกับแบคทีเรียกรดแคลคติกสายพันธุ์อื่นและจีนสื่อในน้ำมาทดสอบได้ ยกเว้นเพจ ΦF-59 ที่สามารถทำให้เกิดการติดเชื้อกับแบคทีเรียกรดแคลคติกสายพันธุ์อื่นและจีนสื่อที่นำมาทดสอบได้ คุณสมบัติการมีไฮส์ท์-เรนจ์แอบเพจที่แยกได้จากการทดลองนี้สอดคล้องกับงานวิจัยของ Patarasmpiboon (2009) [22] ที่ได้ศึกษาคุณสมบัติของแอบเพจในการติดเชื้อกับแบคทีเรียกรดแคลคติกสายพันธุ์อื่นและจีนสื่อ ซึ่งพบว่าเพจ Φ22b และ Φ22s ไม่สามารถทำให้เกิดการติดเชื้อ Weissella sp. จีนสื่อ หรือแบคทีเรียกรดแคลคติกจีนสื่อได้

เมื่อนำแอบเพจ 4 ตัว คือ ΦF-42, ΦF-50, ΦF-57 และ ΦF-59 มาทำการสักดีเอ็นเอแล้วนำดีเอ็นเอที่ได้มาตัดด้วยเอนไซม์ตัดจำเพาะ 9 ชนิด คือ EcoRI, BgIII, BamHI, PstI, HindIII, EcoRV, SacI, MluI และ NdeI เพื่อตรวจสอบยืนยันว่าเป็นแอบเพจชนิดเดียวกันหรือไม่ พบว่าดีเอ็นเอของเพจ ΦF-42 มีบริเวณตัดจำเพาะด้วยเอนไซม์ BamHI, PstI, HindIII, EcoRV, SacI และ MluI ส่วนดีเอ็นเอของเพจ ΦF-50 มีบริเวณตัดจำเพาะด้วยเอนไซม์ EcoRI, PstI, HindIII, EcoRV, SacI และ MluI นอกจากนี้ดีเอ็นเอของเพจ ΦF-57 และ ΦF-59 มีบริเวณตัดจำเพาะด้วยเอนไซม์ EcoRI, BgIII, BamHI, PstI, HindIII, EcoRV, SacI และ MluI แต่เนื่องจากรูปแบบดีเอ็นเอของเพจทั้ง 2 ตัว หลังจากตัดด้วยเอนไซม์ตัดจำเพาะนั้นต่างกัน จึงแสดงให้เห็นว่าเพจทั้ง 2 ตัว มีบริเวณตัดจำเพาะด้วยเอนไซม์ EcoRI, BgIII, BamHI, PstI, HindIII, EcoRV, SacI และ MluI ต่างกัน จากผลการวิเคราะห์รูปแบบดีเอ็นเอของแอบเพจแต่ละตัวหลังจากตัดด้วยเอนไซม์ตัดจำเพาะทั้ง 9 ชนิดนั้น พบว่าแตกต่างกัน จึงยืนยันได้ว่าเป็นแอบเพจต่างชนิดกัน นอกจากนี้ดีเอ็นเอของเพจทั้ง 4 ตัว แม้ถูกตัดด้วยเอนไซม์ที่กล่าวมาข้างต้นแต่แอบเพจที่ได้รีบูตดีเอ็นเอที่ปราภูมิยังแยกได้ไม่ชัดเจน (มีลักษณะของ smear bands ปราภูมิ) จึงควรเลือกใช้เอนไซม์ตัดจำเพาะชนิดอื่นที่เหมาะสมมต่อไป

จากการศึกษาผลของไดว่าเลนท์แคนท์ไออ่อนที่มีผลต่อการเข้าเกาะติดไฮส์ท์ของแอบเพจ พบว่า การเข้าเกาะติดไฮส์ท์ของเพจในอาหาร MRS broth ที่มี CaCl₂ หรือ MgCl₂ (10, 20 และ 30 มิลลิโตรล์) ให้ผลไม่ต่างกัน โดยเพจ ΦF-42 และ ΦF-50 สามารถเข้าเกาะติดที่ผิวเซลล์ของไฮส์ท์ได้ร้อยละ 99 และ 100 ในระยะเวลา 30 นาที ส่วนเพจ ΦF-57 และ ΦF-59 สามารถเข้าเกาะติดที่ผิวเซลล์ของไฮส์ท์ได้ร้อยละ 99 ในระยะเวลา 20 นาที ซึ่งเร็วกว่าเพจ φJL-1 ที่พบว่าสามารถเข้าเกาะติดที่ผิวเซลล์ของไฮส์ท์ได้ร้อยละ 96 ในระยะเวลา 30 นาที [9] แต่ช้ากว่าเพจ Φ22b และ Φ22s ที่สามารถเข้าเกาะติดที่ผิวเซลล์ของไฮส์ท์ได้ร้อยละ 99 ในระยะเวลา 10 นาที [23] ส่วนการเติมแคลเซียมคลอไรด์ (10-30 มิลลิโตรล์) ลงในอาหารเหลว MRS ไม่มีผลต่ออัตราการเข้าเกาะติดที่ผิวเซลล์ของไฮส์ท์ของเพจทั้ง 4 ตัวในช่วง 30 นาทีแรก ซึ่งผลที่ได้ตรงกับการทดลองก่อนหน้านี้ ที่พบว่าไดว่าเลนท์แคนท์ไออ่อนไม่มีผลต่อการเข้าเกาะติด

ไฮส์ของเพจในช่วง 30 นาทีแรก นี่องจากขณะที่เพจเข้าเกะติดที่ผิวเซลล์ของไฮส์ของเพจในรอบแรกนั้น ในอาหารเหลว MRS มีแคดไออ้อนชนิดอื่น เช่น โซเดียมไออ้อน (Na^+) และแมกนีเซียมไออ้อน (Mg^{2+}) ที่เพียงพอต่อความต้องการที่จะช่วยให้เพจสามารถเข้าเกะติดที่ผิวเซลล์ของไฮส์ได้ [9]

โดยสรุปแล้วงานวิจัยนี้เป็นการศึกษาและเพจที่แยกได้จากผลิตภัณฑ์ปลาหมักเป็นครั้งแรกของประเทศไทย โดยเฉพาะการค้นพบและเพจในแฟมิลี Podoviridae ถึง 2 ตัวในงานวิจัยนี้ นับว่าเป็นการค้นพบที่สำคัญซึ่งบ่งชี้ถึงความหลากหลายของและเพจในผลิตภัณฑ์อาหารปลาหมัก โดยเฉพาะการค้นพบว่า *W. cibaria* สามารถเป็นไฮส์ที่ใช้ในการแยกและเพจได้ เพราะมีรายงานการค้นพบจีโนทิปในผลิตภัณฑ์อาหารหมักไม่มากนัก อย่างไรก็ตาม จากข้อมูลที่ได้จะพบว่าการปนเปื้อนโดยและเพจในผลิตภัณฑ์ปลาหมักนั้นยังมีไม่มากนัก และและเพจที่พบในงานวิจัยนี้มีความจำเพาะกับไฮส์ในจีโนสต์ *Leuconostoc* sp. และ *Weissella* sp. ซึ่งไม่ใช่สายพันธุ์หลักที่พบในผลิตภัณฑ์ปลาหมัก จึงอาจบ่งชี้ได้ว่าการปนเปื้อนและเพจในผลิตภัณฑ์ปลาหมักนี้เป็นการปนเปื้อนส่วนน้อย การศึกษาคุณสมบัติเบื้องต้นของและเพจในงานวิจัยนี้ สามารถใช้เป็นข้อมูลพื้นฐานต่องานวิจัยทางด้านแบคทีเรียในอนาคตได้ต่อไป

กิตติกรรมประกาศ

งานวิจัยนี้ได้รับทุนอุดหนุนการวิจัยจากเงินรายได้ มหาวิทยาลัยครินครินทร์วิโรฒ ประจำปีงบประมาณ พ.ศ. 2553

เอกสารอ้างอิง

1. นาภา โลห์ทอง. 2535. กล้าเชื้ออาหารหมักและเทคโนโลยีการผลิต. กรุงเทพฯ. พันนี่ พับลิชชิ่ง, 159 หน้า.
2. Moineau, S. 1999. Applications of Phage Resistance in Lactic Acid Bacteria. *Antonie van Leeuwenhoek Reviews* 76: 377-382.
3. Binetti, A. G., and Reinheimer, J. A. 2000. Thermal and Chemical Inactivation of Indigenous *Streptococcus thermophilus* Bacteriophages Isolated from Argentinian Dairy Plants. *Journal of Food Protection* 63: 509-515.
4. Capra, M. L., Quiberoni, A., and Reinheimer, J. A. 2004. Thermal and Chemical Resistance of *Lactobacillus casei* and *Lactobacillus paracasei* Bacteriophages. *Letters in Applied Microbiology* 38(6): 499-504.
5. Coveney, H. M., Fitzgerald, G., F., and Daly, C. 1994. A Study of the Microbiological Status of Irish Farmhouse Cheeses with Emphasis on Selected Pathogenic and Spoilage Microorganisms. *Journal of Applied Bacteriology* 77: 621-630.
6. Neve, H., Berger, A., and Heller, K. J. 1995. A Method for Detecting and Enumerating Airborne Virulent Bacteriophage of Dairy Starter Cultures. *Kieler Milchwirtschaftliche Forschungsberichte* 47: 193-207.

7. Josephsen, J., and Neve, H. 1998. Bacteriophages and Lactic Acid Bacteria. In: Lactic Acid Bacteria. Microbiology and Functional Aspects. Salminen, S, and von Wright, S. A., Editors. New York. Marcel Dekker. p. 385-436.
8. Axelsson, L. 1998. Lactic Acid Bacteria: Classification and Physiology. In: Lactic Acid Bacteria. Salminen, S., and Wright, A. V., Editors. New York. Marcel Dakker. p. 1-72.
9. Lu, Z., Breidt, Jr. F., Fleminga, H. P., Altermannb, E., and Klaenhammer, T. R. 2003. Isolation and Characterization of a *Lactobacillus plantarum* Bacteriophage, φ JL-1, from a Cucumber Fermentation. *Journal of Food Microbiology* 84: 225-235.
10. Erko, S., and Michael, G. 1991. Nucleic Acid Techniques in Bacterial Systematics. U.S.A. John Wiley and Sons.
11. Björkroth, K. J., Schillinger, U., Geisen, R., Weiss, N., Hoste, B., Holzapfel, W. H., Korkeala, H. J., and Vandamme, P. 2002. Taxonomic Study of *Weissella confusa* and Description of *Weissella cibaria* sp. nov., Detected in Food and Clinical Samples. *International Journal of Systematic and Evolutionary Microbiology* 52(1): 141-148.
12. Baross, J. A., Liston, J., and Morita, R. Y. 1978. Ecological Relationship Between *Vibrio parahaemolyticus* and Agar-Digesting Vibrios as Evidenced by Bacteriophage Susceptibility Patterns. *Applied and Environmental Microbiology* 36: 500-505.
13. Koga, T., Toyoshima, S., and Kawata, T. 1982. Morphological Varieties and Host Ranges of *Vibrio parahaemolyticus* Bacteriophages Isolated from Seawater. *Applied and Environmental Microbiology* 44: 466-470.
14. Birge, E. A., 2000. Bacterial and Bacteriophage Genetics. 4th Edition. New York. Springer.
15. Depaola, A., Motes, M. L., Chan, A. M., and Suttle, C. A. 1998. Phage Infecting *Vibrio vulnificus* Are Abundant and Diverse in Oysters Collected from the Gulf of Mexico. *Applied and Environmental Microbiology* 84: 346-351.
16. Ghosh, A. M., Ansari, M. Q., and Datta, G. C. 1989. Isolation and Morphological Characterization of El Tor Cholera Phages. *Journal of General Virology* 70: 2241-2243.
17. Sambrook, J., Fritsch, E. F., and Maniatis, T. 1989. Molecular Cloning. 2nd Edition. U.S.A. Cold Spring Harbor Laboratory Press.
18. Tanasupawat, S., Okada, S., and Komagata, K. 1998. Lactic Acid Bacteria Found in Fermented Fish in Thailand. *Journal of General and Applied Microbiology* 44: 193-200.
19. Greer, G. G., Dilts, B. D., and Ackermann, H. W. 2007. Characterization of a *Leuconostoc gelidum* Bacteriophage from Pork. *International Journal of Food Microbiology* 114: 370-375.
20. Deveau, H., Labrie, S. J., Chopin, M.,C., and Moineau, S. 2006. Biodiversity and Classification of Lactococcal Phages. *Applied and Environmental Microbiology* 72: 4338-4346.

21. Ackermann, H. W. 2001. Frequency of Morphological Phage Descriptions in the Year 2000. *Archaeology of Virology* 146: 843-857.
22. Patarasinpai boon, N., Pringsulaka, O., Rangsiruji, A., and Suwannasai, N. 2009. Isolation of LAB phage from Nham (Thai Fermented Pork) in Thailand. *Srinakharinwirot Science Journal* 25(1): 101-113.

ได้รับบทความวันที่ 7 ตุลาคม 2553
ยอมรับและพิมพ์วันที่ 10 พฤศจิกายน 2553

